网络出版时间:2022-05-27 16:56 网络出版地址:https://kns.cnki.net/kcms/detail/34.1065. R. 20220526.1016.003. html

# 辣椒辣素对糖尿病大鼠模型视网膜血管通透性的影响

刘 扣1,高 翔1,陈可洋2,蒋正轩1

摘要 目的 探讨辣椒辣素对糖尿病大鼠(DM)视网膜血 管通透性及新生血管的影响。方法 选取 8 周龄雄性 SD 大 鼠24 只,随机分为4组(n=6):正常对照组(NC)、糖尿病组 (DM)、糖尿病3 mg/kg 辣椒辣素处理组(CAP3)、糖尿病6 mg/kg 辣椒辣素处理组(CAP6)。3 组糖尿病组大鼠均采用 高脂饲料(HFD) + 小剂量链脲佐菌素(STZ)联合诱导,建立 2型糖尿病大鼠(T2DM)模型。监测4组大鼠体质量和空腹 血糖。检测血清中总胆固醇(TC)、三酰甘油(TG)、低密度 脂蛋白(LDL)、高密度脂蛋白(HDL)浓度;伊文思蓝造影观 察视网膜血管通透性改变:免疫荧光检测视网膜辣椒辣素受 体1(TRPV1)分布;Western blot 检测视网膜TRPV1、血管内 皮生长因子(VEGF)、闭锁蛋白(occludin)水平。结果 与 DM 组相比,生化指标提示 CAP3、CAP6 组大鼠血清中 TC、 TG、LDL 浓度降低(P < 0.01); 造影结果提示 DM 组大鼠视 网膜血管通透性增高,存在多处强荧光渗漏区域,CAP3、 CAP6 处理组渗漏减轻;免疫荧光显示, CAP3、CAP6 组视网 膜神经节细胞层、内核层及外核层 TRPV1 激活:蛋白检测提 示视网膜 TRPV1 升高, VEGF 表达下降、occludin 表达上升 (P<0.01)。结论 辣椒辣素具有改善糖尿病视网膜病变 作用,其机制可能是通过激活视网膜 TRPV1 受体,降低 VEGF、升高 occludin 的表达。

关键词 糖尿病视网膜病变;黄斑水肿;辣椒辣素;闭锁蛋白中图分类号 R 774.1

文献标志码 A 文章编号 1000 - 1492(2022)06 - 0855 - 05 doi:10.19405/j. cnki. issn1000 - 1492.2022.06.003

糖尿病视网膜病变(diabetic retinopathy, DR)是糖尿病常见的微血管并发症之一。长期高血糖会引起视网膜血管系统的病理和功能改变,严重危害劳动年龄人的视力[1]。其中,糖尿病黄斑水肿(diabetic macular edema, DME)的发生率随着 DR 的进展逐渐增加, IV 期时可达 70% [2]。 DME 的发生与糖尿病视网膜血管的通透性异常增高息息相关。研

2022 - 03 - 15 接收

基金项目:国家自然科学基金(编号:82070986)

作者单位:1安徽医科大学第二附属医院眼科,合肥 230601

<sup>2</sup> 安徽医科大学卫生检验与检疫教研室,合肥 230032 作者简介:刘 扣,女,硕士研究生;

蒋正轩,男,副教授,硕士生导师,责任作者,E-mail: jiang-zhengxuan@ ahmu. edu. cn

究<sup>[3]</sup>表明,辣椒辣素可以有效抑制血管通透性增加以及新生血管。张廷等<sup>[4]</sup>提出辣椒辣素能通过增强视网膜内源性降钙素基因相关肽的表达,在一定程度上抑制糖尿病大鼠视网膜细胞的凋亡。但辣椒辣素抑制血管通透性增高的特性是否能在视网膜中发挥作用尚不清楚。

该研究采用辣椒辣素干预 DR 模型大鼠,采集大鼠血清相关因子、视网膜血管造影、免疫荧光等数据,并检测视网膜中辣椒辣素受体蛋白(transient receptor potential vanillic 1, TRPV1)、血管内皮生长因子(vascular endothelial growth factor, VEGF)、闭锁蛋白(occludin)浓度进一步探讨其作用的潜在机制,为明确辣椒辣素的作用提供依据。

### 1 材料与方法

1.1 试剂与仪器 辣椒辣素(上海 Aladdin 公司); 血糖仪、血糖试纸(美国罗氏公司);链脲佐菌素 (streptozotocin, STZ)(美国 Sigma 公司);兔 Anti-TR-PV1 抗体(英国 abcam 公司)、兔 Anti-VEGF 抗体 (成都正能生物有限公司)、兔 Anti-occludin(美国 Novus 公司);伊文思蓝染料(北京索莱宝生物科技 有限公司);凝胶扫描成像系统 Fine-do X6 显影仪 (上海天能科技有限公司);BCA 蛋白浓度测定试剂 盒(上海碧云天生物科技有限公司);总胆固醇(total cholesterol, TC)、三酰甘油(triglyceride, TG)、低密 度脂蛋白(low density lipoprotein, LDL)、高密度脂 蛋白(high density lipoprotein, HDL)检测试剂盒(南 京建城生物工程研究所);其余常见试剂和耗材均 来自安徽医科大学卫生检验与检疫学系教研室。

1.2 实验动物造模及干预 选取 8 周龄雄性 SD 大鼠<sup>[5]</sup> 24 只,体质量均为 200 g 左右(购自安徽医科大学实验动物中心)。适应性喂养 1 周,动物饲养间环境为 12 h/12 h 的昼夜节律,相对温度为(23±2)℃,相对湿度为(50±5)%。随机选取 6 只大鼠作为正常对照组(NC组),实验期间给予普通饲料喂养;其余 18 只大鼠作为糖尿病组先给予HFD 喂养 4 周后,给予禁食 16 h 处理。将禁食后大鼠按 35 mg/kg 的剂量腹腔注射配置好的 STZ 溶液

(STZ 粉剂溶于 1% 的枸橼酸溶液配成浓度为 0.1 mol/L 缓冲液)。注射 72 h 后测空腹血糖值 ≥ 11.1 mmol/L 的大鼠确定为糖尿病模型。糖尿病模型大鼠随机分为糖尿病对照组(DM)6 只、糖尿病 3 mg/kg 辣椒辣素处理组(CAP3)6 只、糖尿病 6 mg/kg 辣椒辣素处理组(CAP6)6 只。DM 组大鼠和 CAP3、CAP6 组大鼠分别采用 DMSO 和 2 种浓度辣椒辣素灌胃干预。每周 1 次检测大鼠体质量、空腹血糖(禁食 8 h)。大鼠饲养笼每天更换 2 次垫料,保证环境干燥。整个实验周期共 8 周。

- 1.3 实验动物干预后取材 辣椒辣素灌胃处理 8 周后取材。实验大鼠安乐死,留取腹主动脉血,生理盐水反复灌洗脏器清除残余全血后摘取双眼眼球,-80 ℃或经组织固定液 4 ℃固定保存。大鼠眼球摘取后立刻使用磷酸盐缓冲液(PBS)冲洗干净,在解剖显微镜下经角巩膜缘间平行于赤道方向剪开,仔细去除眼前节和玻璃体,冰上钝性分离视网膜,储存在 1.5 ml EP 管中,液氮速冻 10 min,于 -80 ℃保存。该研究经安徽医科大学动物伦理委员会批准,按照安徽医科大学动物实验规范进行。
- **1.4 血清 TC、TG、HDL、LDL 浓度检测** 收集的 全血静置分层后,经 3 000 r/min、4 ℃离心 15 min, 取上层血清 – 20 ℃保存。按 TC、TG、HDL、LDL 生 化检测试剂盒标准检测浓度。
- 1.5 视网膜伊文思蓝造影 固定深度麻醉的大鼠, 经颈内静脉缓慢注射 0.5 ml 加热至 37 ℃的伊文思 蓝溶液,见大鼠通体逐渐变为蓝色。循环 20 min 后 将大鼠安乐死,摘取眼球立刻置于 PBS 中清洗,避 光条件下分离视网膜,并展开在载玻片上,晾干、封 片。暗室中,倒置荧光显微镜下采图。
- 1.6 视网膜免疫荧光 将 4% 多聚甲醛固定的眼球清洗、脱水、石蜡包埋等处理后,按 5 μm 厚度切片并固定于载玻片上。通过脱蜡复水、抗原修复、BSA 封闭、荧光抗体孵育、甘油封片等制成免疫荧光切片,置于荧光显微镜下立即观察、采图。
- 1.7 视网膜 TRPV1、VEGF、occludin 蛋白水平检测 称取 30 mg 大鼠视网膜组织,经充分裂解匀浆后离心取上清液,BCA 法蛋白定量,变性后于 -20  $^{\circ}$  C保存。经凝胶电泳分离目的蛋白,恒流转膜,脱脂牛奶封闭,一抗(Anti-TRPV1、Anti-VEGF、Anti-occludin)4  $^{\circ}$  C孵育  $12 \sim 16$  h,二抗室温孵育  $30 \sim 60$  min。将承载目的蛋白的纤维素膜均匀滴加显影液,置于显影仪中拍摄保存。显影结果进行灰度扫描,统计分析。

**1.8** 统计学处理 采用 SPSS 22.0 软件进行统计分析,结果采用 $\bar{x} \pm s$  表示,多组间比较采用单因素方差分析,以 P < 0.05 表示组间差异有统计学意义。作图软件采用 GraphPad Prism 8.0。

#### 2 结果

2.1 辣椒辣素对大鼠体质量和血糖的影响 与 NC 组相比,DM 组大鼠在实验第 1 周开始体质量降低。与 DM 组大鼠相比,CAP3、CAP6 大鼠体质量增加,差异有统计学意义(F=14.83,P<0.01)。CAP3 与 CAP6 处理组间体质量有数值差距,但差异无统计学意义(图 1A)。与 NC 组相比,3 组糖尿病大鼠血糖升高(F=123.8,P<0.01)。整个实验周期,DM、CAP3、CAP6 组间血糖值差异无统计学意义(图 1B)。

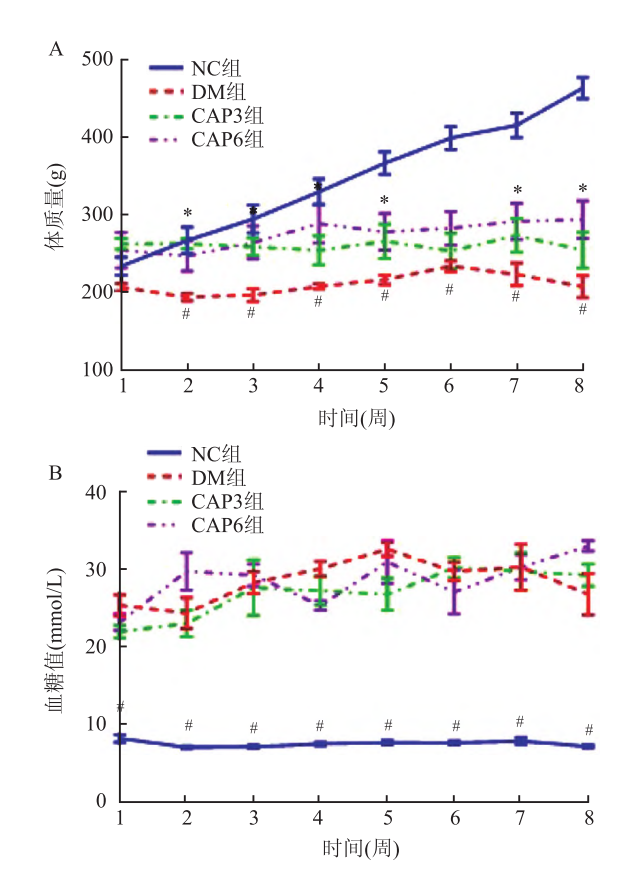
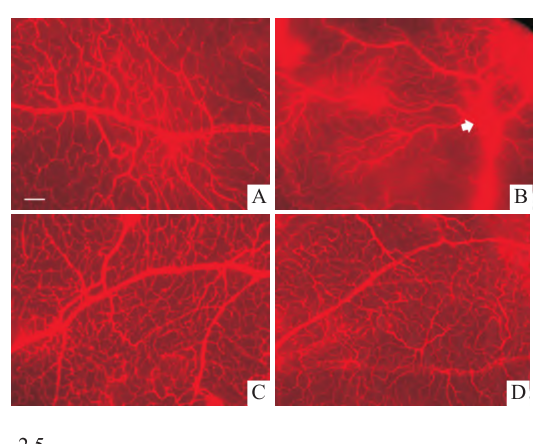


图 1 大鼠体质量及空腹血糖值

A:大鼠体质量; B:大鼠空腹血糖; n=6; 与 DM 组比较: \* P<0.05; 与 NC 组比较: \*P<0.05

2.2 辣椒辣素对血管通透性的影响 DM 组大鼠 视网膜血管通透性较 NC 组大鼠升高、渗漏明显,辣椒辣素对视网膜血管通透性有改善作用。伊文思蓝眼底造影显示(标尺:50 μm),NC 组大鼠的视网膜

血管走形规则、清晰,无明显的血管渗漏,见图 2A; DM 组大鼠视网膜血管形态模糊不清,有多处明显强荧光区域,提示血管渗漏显著(白色箭头),见图 2B;CAP3 组大鼠视网膜血管可见微小血管形态迂曲,主要血管有较明显的强荧光,但较 DM 组荧光强度降低,提示血管渗漏减轻,见图 2C。CAP6 组大鼠视网膜血管走形接近 NC 组,血管荧光强度较 DM 组降低,但与 CAP3 组差异无统计学意义,见图 2D。



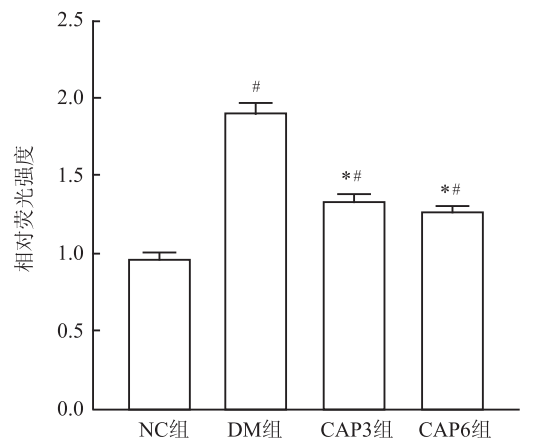


图 2 视网膜组织伊文思蓝血管造影 ×100

A:NC 组大鼠视网膜血管; B:DM 组大鼠视网膜血管; C:CAP3 组大鼠视网膜血管; D:CAP6 组大鼠视网膜血管; n=3; 与 DM 组比较: P<0.05; 与 NC 组比较: P<0.05

2.3 辣椒辣素对糖尿病大鼠血脂的影响 分别检测4组大鼠血清中TC、TG、LDL、HDL浓度。与NC组相比,DM组TC浓度升高,CAP3、CAP6处理组渐次降低该数值,差异有统计学意义(P<0.05)。且CAP6组TC浓度接近NC组正常值。检测大鼠血清中TG浓度,与NC组相比,DM组TG浓度升高,CAP3、CAP6处理组均显示TG浓度降低至正常值,两处理组差异无统计学意义。糖尿病大鼠LDL导致视网膜脂质沉积。与DM组相比,可见CAP3组LDL浓度降低,CAP6组LDL浓度低于NC组,但并

非提示不良反应。与 NC 组相比,其余 3 组均表现 HDL 下降,CAP 处理组未显示改善作用(表 1)。

表 1 血清 TC、TG、LDL、HDL 含量(mmol/L,  $\bar{x} \pm s$ , n = 6)

组别	TC	TG	LDL	HDL
NC	$2.02 \pm 0.24$	$1.67 \pm 0.47$	$2.08 \pm 0.13$	$2.13 \pm 0.15$
DM	$2.65 \pm 0.23$	$3.21 \pm 0.99$ #	$3.40 \pm 0.77$ #	$1.38 \pm 0.15$ #
CAP3	2. 25 $\pm$ 0. 18 * #	1.42 $\pm 0.70$ $^{*}$	$2.30 \pm 0.69$ *	$1.29 \pm 0.19$
CAP6	2. 13 $\pm$ 0. 14 * &	1.31 $\pm$ 0.51 $^*$	$1.54 \pm 0.36$ * #&	$1.30 \pm 0.13^{\#}$
F 值	9.170	9.622	10.550	33.490
P 值	< 0.001	< 0.001	< 0.001	< 0.001

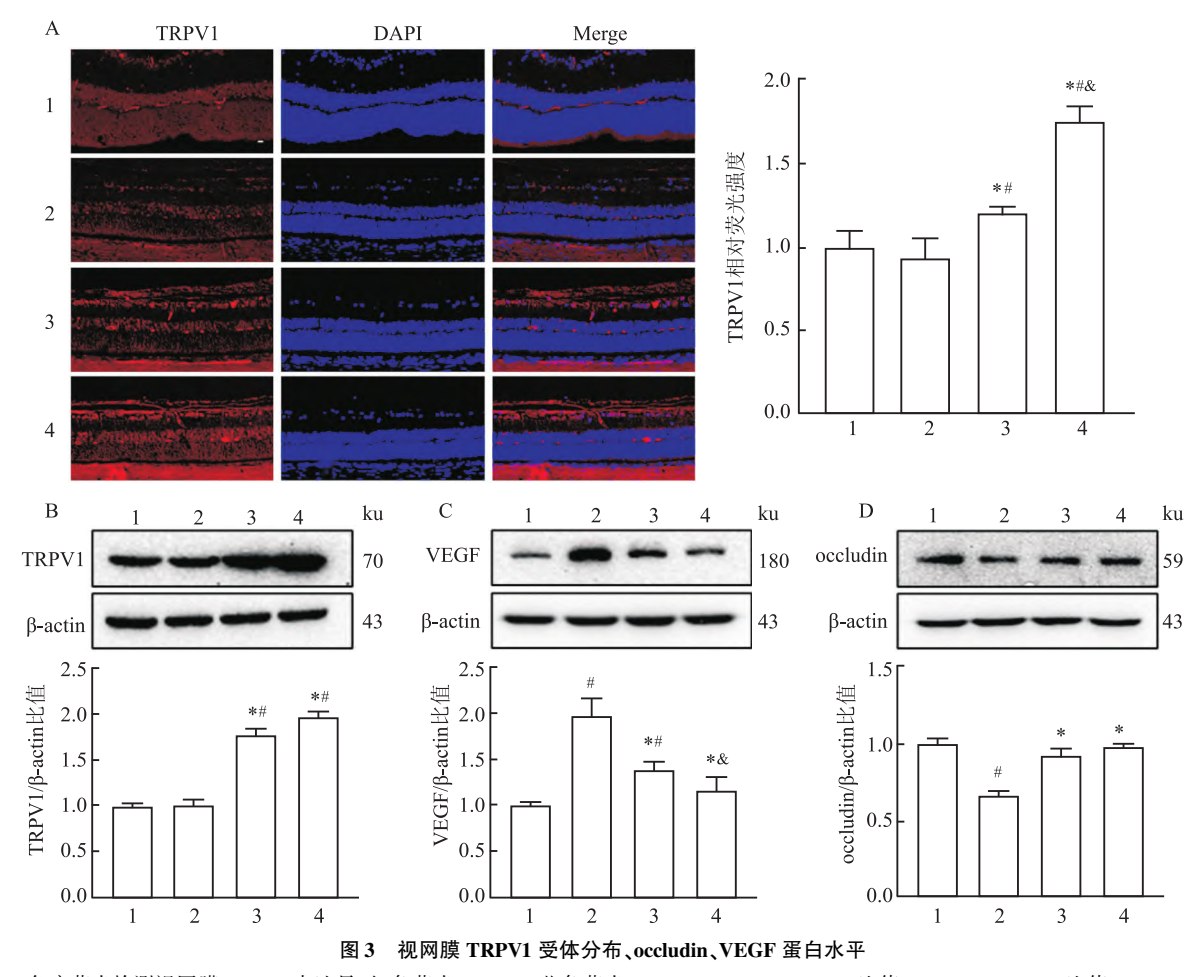
与 DM 组比较: \*P<0.05;与 NC 组比较: \*P<0.05;与 CAP3 组比较: \*P<0.05

2.4 辣椒辣素对视网膜 TRPV1、VEGF、occludin 的影响 大鼠视网膜组织免疫荧光(标尺:50 μm)显示,与未接受辣椒辣素处理组(NC、DM)相比,CAP3、CAP6 处理组 TRPV1 具有较高荧光强度,差异有统计学意义(P<0.05)(图3A);检测视网膜蛋白提示,CAP3、CAP6 组大鼠视网膜 TRPV1 含量较NC、DM 组升高(图3B),结果表明辣椒辣素可促进视网膜中 TRPV1 的表达。此外经辣椒辣素干预后,与DM 组相比,CAP3、CAP6 处理组视网膜 VEGF蛋白浓度降低,occludin蛋白浓度升高,差异有统计学意义(P<0.05);其中,CAP6 处理组较 CAP3 处理组视网膜 VEGF 更接近 NC 组(图3C、D)。由此可见,辣椒辣素在视网膜组织中参与调节血管通透性关联蛋白 VEGF 与 occludin 的表达。

#### 3 讨论

DR 随着糖尿病发生率的升高已经成为严重的眼科常见病。高血糖可导致组织缺血低氧、氧化应激和炎症反应,造成视网膜内皮细胞损伤、细胞间连接蛋白减少,最终引起 DR<sup>[6]</sup>。血 - 视网膜屏障(blood-retinal barrier, BRB)的破坏是 DR 的特征性病理改变,可引起血管渗透性增加和新生血管形成。

辣椒辣素是TRPV1(又称瞬时受体电位香草酸亚型1)的激动剂,是存在于辣椒果实中的香草酰胺类生物碱。研究<sup>[7]</sup>表明,辣椒辣素能促进胆固醇在肝脏中分解代谢,改善高脂血症大鼠血清脂质含量,降低 TC、TG、LDL 浓度,甚至能有效降低高脂血症大鼠体质量。此外,辣椒辣素能够显著抑制外源性VEGF 诱导的内皮细胞血管渗漏、血管形成<sup>[3]</sup>,其机制可能是辣椒辣素通过抑制血管内皮钙黏蛋白(VE-cadherin)的酸磷酸化来抑制VEGF诱导的血管通透性增高。该实验中,辣椒辣素处理组体质量较



A:免疫荧光检测视网膜 TRPV1 表达量;红色荧光:TRPV1;蓝色荧光:DAPI;B:TRPV1/β-actin 比值;C:VEGF/β-actin 比值;D:occludin/β-actin 比值;n=3;1:NC 组;2:DM 组;3:CAP3 组;4:CAP6 组;与 DM 组比较: \*P<0.05;与 NC 组比较: \*P<0.05;与 CAP3 组比较: \*P<0.05

DM 组增加,提示辣椒辣素可能缓解糖尿病特征性体质量下降的症状。两种浓度的辣椒辣素均降低糖尿病大鼠血清 TC、TG、LDL 浓度,但对 HDL 含量无改善效果,说明辣椒辣素能促进脂质分子在体内的代谢,但不具备协助 HDL 将脂质转运进入肝脏的能力。

视网膜血管通透性改变是 DME 的重要病理特征,而 BRB 的完整性是保证视网膜血管通透性功能正常的必要条件。视网膜血管内皮细胞是在血液循环和神经视网膜间发挥屏障作用的单层细胞<sup>[8]</sup>,其细胞间的 3 种连接结构是保证该作用的核心支柱,包括紧密连接(tight junctions, Tjs)、黏附连接(adherens junctions, AJs)及缝隙连接(gap junctions, GJs),三者共同维持视网膜血管功能稳定<sup>[9]</sup>。其中,TJs 是 BRB 最重要的连接结构,其完整性是决定BRB 功能是否正常的关键因素。occludin 是一种跨膜蛋白,是 Tjs 的重要组成部分,参与维持上皮细胞及内皮细胞间结构的完整性。occludin 受多途径调控,其中促炎因子 VEGF 会抑制其表达<sup>[10-11]</sup>。实验

结果显示, DM 组大鼠视网膜 VEGF 较 NC 组表达增 高,occludin表达下降。经辣椒辣素处理的 CAP3、 CAP6 组糖尿病大鼠视网膜组织 VEGF、occludin 表 达趋势与 DM 组相反。该结果提示, DM 组大鼠视 网膜中过表达 VEGF 可能抑制了 occludin 的正常生 成,导致 TJs 构成组分不全,进而导致 BRB 屏障功 能受损,血管通透性异常改变。辣椒辣素处理后,大 鼠视网膜 VEGF 表达下降, occludin 受抑制减少,表 达恢复。该结果与病理数据也相符合。免疫荧光提 示,TRPV1 受体在视网膜中广泛分布,且辣椒辣素 处理后 TRPV1 受体较未处理组激活增多。造影结 果显示,与 NC 组相比, DM 组大鼠视网膜血管有强 而多的荧光渗漏区域,表明视网膜血管壁受损,通透 性异常增高,造影剂随损伤的血管壁渗漏进入视网 膜组织内。CAP3、CAP6 处理组较 DM 组大鼠视网 膜血管可见改善,眼底血管未见明显强荧光区,血管 走形较为清晰,提示辣椒辣素缓解了糖尿病大鼠视 网膜血管渗漏的情况,具有改善视网膜血管通透性 的作用。该研究表明,辣椒辣素能激活糖尿病大鼠 视网膜组织中的 TRPV1 受体,上调因 VEGF 过表达而受到抑制的 occludin,保护 TJs 构成组分、维持BRB 正常功能。

#### 参考文献

- Wang W, Lo A. Diabetic retinopathy: pathophysiology and treatments [J]. Int J Mol Sci, 2018, 19(6):1816.
- [2] 门愿如,杨 帅,纪惠谦,等 糖尿病视网膜病变增生期IV期合并黄斑水肿患者经阈下微脉冲激光治疗的短期随访效果[J]. 慢性病学杂志,2021,22(8):1280-2.
- [3] Pyun B J, Choi S, Lee Y, et al. Capsiate, a nonpungent capsaicin-like compound, inhibits angiogenesis and vascular permeability via a direct inhibition of Src kinase activity [J]. Cancer Res, 2008, 68(1):227-35.
- [4] 张 廷,杨继红,郭 政. 辣椒素预处理对糖尿病大鼠视网膜细胞凋亡的抑制作用[J]. 中华实验眼科杂志, 2013, 31(1): 34-8.
- [5] 高 翔,刘 扣,桂衍超,等。卡托普利抑制糖尿病视网膜病变大鼠脂代谢紊乱的作用及机制[J]. 安徽医科大学学报, 2021,56(4):592-5,618.

- [6] Huang H W, Yang C M, Yang C H. Fibroblast growth factor type 1 ameliorates high-glucose-induced oxidative stress and neuroinflammation in retinal pigment epithelial cells and a streptozotocininduced diabetic rat model [J]. Int J Mol Sci, 2021, 22(13):1 -10
- [7] 陈朝军,李 俊,王 辉,等. 花椒麻素和辣椒辣素对大鼠体内 脂质的调节作用[J]. 江苏农业科学, 2017, 45(21):168-72.
- [8] Santiago A R, Boia R, Aires I D, et al. Sweet stress: coping with vascular dysfunction in diabetic retinopathy [J]. Front Physiol, 2018, 9:820.
- [9] Díaz-Coránguez M, Ramos C, Antonetti D A. The inner blood-retinal barrier: cellular basis and development [J]. Vision Res, 2017, 139:123-37.
- [10] Feldman G J, Mullin J M, Ryan M P. Occludin; structure, function and regulation [J]. Adv Drug Deliv Rev, 2005, 57(6):883-917.
- [11] Wang S S, Liao X, Liu F, et al. MiR-132 mediates cell permeability and migration by targeting occludin in high-glucose-induced ARPE-19 cells[J]. Endocr J, 2021, 68(5):531-41.

## The effect of capsaicin on the retinal vascular permeability in diabetic rats

Liu Kou<sup>1</sup>, Gao Xiang<sup>1</sup>, Chen Keyang<sup>2</sup>, Jiang Zhengxuan<sup>1</sup>

(<sup>1</sup>Dept of Ophthalmology, The Second Affiliated Hospital of Anhui Medical University, Hefei 230601; <sup>2</sup>Dept of Inspection and Quarantine Health, Anhui Medical University, Hefei 230032)

**Abstract** *Objective* To investigate the effect of capsaicin on retinal vascular permeability in diabetic rats (DM). **Methods** 24 eight-week-old male sprague-dawley (SD) rats were randomly categorized into four groups (n=6): control group (NC), diabetic group (DM), diabetic group with 3 mg/kg capsaicin treatment (CAP3) and diabetic group with 6 mg/kg capsaicin treatment (CAP6). Type 2 diabetic rat (T2DM) model was established by high-fat diet combined with small-dose streptozotocin (STZ) induction. The body weight and fasting blood glucose in 4 groups were monitored. Total cholesterol (TC), triglycerides (TG), low density lipoprotein (LDL), high density lipoprotein (HDL) concentrations in serum were detected according to manufacturer's instructions. Evans blue angiography was used to observe the changes of retinal vascular permeability. Immunofluorescence was used to measure the distribution and expression of transient receptor potential vanillic 1 (TRPV1) in retina. Western blot was used to detect the expression of TRPV1, vascular endothelial growth factor (VEGF) and occludin in rat retina. Results Compared with the DM group, serum total cholesterol (TC), triglyceride (TG) and low density lipoprotein (LDL) levels in the CAP3 and CAP6 groups significantly decreased (P < 0.01). The results of angiography showed that the retinal vascular permeability increased in the DM group and that there were many strong fluorescent leakage areas, while the leakage was reduced in CAP3 and CAP6 groups. In CAP3 and CAP6 groups, immunofluorescence showed the activation of TRPV1 in the retinal ganglion cell layer, inner nuclear layer and outer nuclear layer. Western blot indicated that the expression of TRPV1 and occludin increased while the expression of VEGF decreased (P < 0.01). Conclusion Capsaicin may exert the effect of improving diabetic retinopathy, underlying which the mechanism may be that capscicin activates retinal TRPV1, resulting in the downregulation of VEGF and upregulation of occuldin.

Key words diabetic retinopathy; macular edema; capsaicin; occludin